

# 受限玻尔兹曼机(Restricted Boltzmann Machine)

作者: 凯鲁嘎吉 - 博客园 <http://www.cnblogs.com/kailugaji/>

受限玻尔兹曼机 (Restricted Boltzmann Machine, RBM) 是一个二分图结构的无向图模型, 如图12.3所示。受限玻尔兹曼机中的变量也分为隐藏变量和可观测变量。我们分别用可观测层和隐藏层来表示这两组变量。同一层中的节点之间没有连接, 而不同层一个层中的节点与另一层中的所有节点连接, 这和两层的全连接神经网络的结构相同。

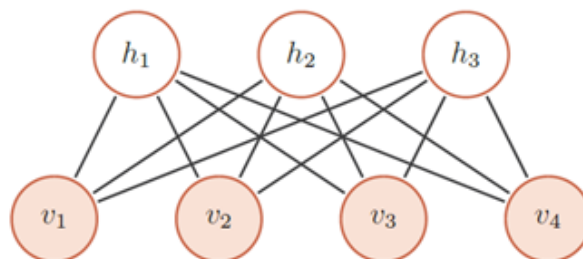


图 12.3 一个有 7 个变量的受限玻尔兹曼机

一个受限玻尔兹曼机由  $m_1$  个可观测变量和  $m_2$  个隐变量组成, 其定义如下:

- 可观测的随机向量  $\mathbf{v} = [v_1, \dots, v_{m_1}]^T$ ;

- 隐藏的随机向量  $\mathbf{h} = [h_1, \dots, h_{m_2}]^T$ ;
- 权重矩阵  $W \in \mathbb{R}^{m_1 \times m_2}$ , 其中每个元素  $w_{ij}$  为可观测变量  $v_i$  和隐变量  $h_j$  之间边的权重;
- 偏置  $\mathbf{a} \in \mathbb{R}^{m_1}$  和  $\mathbf{b} \in \mathbb{R}^{m_2}$ , 其中  $a_i$  为每个可观测的变量  $v_i$  的偏置,  $b_j$  为每个隐变量  $h_j$  的偏置。

受限玻尔兹曼机的能量函数定义为

$$E(\mathbf{v}, \mathbf{h}) = - \sum_i a_i v_i - \sum_j b_j h_j - \sum_i \sum_j v_i w_{ij} h_j \quad (12.28)$$

$$= -\mathbf{a}^T \mathbf{v} - \mathbf{b}^T \mathbf{h} - \mathbf{v}^T W \mathbf{h}, \quad (12.29)$$

受限玻尔兹曼机的联合概率分布  $p(\mathbf{v}, \mathbf{h})$  定义为

$$p(\mathbf{v}, \mathbf{h}) = \frac{1}{Z} \exp(-E(\mathbf{v}, \mathbf{h})) \quad (12.30)$$

$$= \frac{1}{Z} \exp(\mathbf{a}^T \mathbf{v}) \exp(\mathbf{b}^T \mathbf{h}) \exp(\mathbf{v}^T W \mathbf{h}), \quad (12.31)$$

其中  $Z = \sum_{\mathbf{v}, \mathbf{h}} \exp(-E(\mathbf{v}, \mathbf{h}))$  为配分函数。

## 1. 生成模型

在给定受限玻尔兹曼机的联合概率分布  $p(\mathbf{h}, \mathbf{v})$  后, 可以通过吉布斯采样方法生成一组服从  $p(\mathbf{h}, \mathbf{v})$  分布的样本。

#### 12.2.1.1 全条件概率

吉布斯采样需要计算每个变量  $V_i$  和  $H_j$  的全条件概率。受限玻尔兹曼机中同层的变量之间没有连接。从无向图的性质可知, 在给定可观测变量时, 隐变量之间互相条件独立。同样在给定隐变量时, 可观测变量之间也互相条件独立。即有

$$p(v_i | \mathbf{v}_{\setminus i}, \mathbf{h}) = p(v_i | \mathbf{h}), \quad (12.32)$$

$$p(h_j | \mathbf{v}, \mathbf{h}_{\setminus j}) = p(h_j | \mathbf{v}), \quad (12.33)$$

其中  $\mathbf{v}_{\setminus i}$  为除变量  $V_i$  外其它可观测变量的取值,  $\mathbf{h}_{\setminus j}$  为除变量  $H_j$  外其它隐变量的取值。因此,  $V_i$  的全条件概率只需要计算  $p(v_i | \mathbf{h})$ , 而  $H_j$  的全条件概率只需要计算  $p(h_j | \mathbf{v})$ 。

**定理 12.2** – 受限玻尔兹曼机中变量的条件概率: 在受限玻尔兹曼

机中, 每个可观测变量和隐变量的条件概率为

$$p(v_i = 1|\mathbf{h}) = \sigma\left(a_i + \sum_j w_{ij}h_j\right), \quad (12.34)$$

$$p(h_j = 1|\mathbf{v}) = \sigma\left(b_j + \sum_i w_{ij}v_i\right), \quad (12.35)$$

其中  $\sigma$  为 logistic sigmoid 函数。

证明. (1)我们先计算  $p(h_j = 1|\mathbf{v})$ 。可观测层变量  $\mathbf{v}$  的边际概率为

$$P(\mathbf{v}) = \sum_{\mathbf{h}} P(\mathbf{v}, \mathbf{h}) = \frac{1}{Z} \sum_{\mathbf{h}} \exp(-E(\mathbf{v}, \mathbf{h})) \quad (12.36)$$

$$= \frac{1}{Z} \sum_{\mathbf{h}} \exp\left(\mathbf{a}^T \mathbf{v} + \sum_j b_j h_j + \sum_i \sum_j v_i w_{ij} h_j\right) \quad (12.37)$$

$$= \frac{\exp(\mathbf{a}^T \mathbf{v})}{Z} \sum_{\mathbf{h}} \exp\left(\sum_j h_j (b_j + \sum_i w_{ij} v_i)\right) \quad (12.38)$$

$$= \frac{\exp(\mathbf{a}^T \mathbf{v})}{Z} \sum_{\mathbf{h}} \prod_j \exp\left(h_j (b_j + \sum_i w_{ij} v_i)\right) \quad (12.39)$$

$$= \frac{\exp(\mathbf{a}^T \mathbf{v})}{Z} \sum_{h_1} \sum_{h_2} \cdots \sum_{h_n} \prod_j \exp\left(h_j (b_j + \sum_i w_{ij} v_i)\right) \quad (12.40)$$

$$= \frac{\exp(\mathbf{a}^T \mathbf{v})}{Z} \prod_j \sum_{h_j} \exp \left( h_j (b_j + \sum_i w_{ij} v_i) \right) \quad (12.41)$$

$$= \frac{\exp(\mathbf{a}^T \mathbf{v})}{Z} \prod_j \left( 1 + \exp(b_j + \sum_i w_{ij} v_i) \right). \quad (12.42)$$

固定  $h_j = 1$  时,  $p(h_j = 1, \mathbf{v})$  的边际概率为

$$p(h_j = 1, \mathbf{v}) = \frac{1}{Z} \sum_{\mathbf{h}, h_j=1} \exp(-E(\mathbf{v}, \mathbf{h})) \quad (12.43)$$

$$= \frac{\exp(\mathbf{a}^T \mathbf{v})}{Z} \prod_{k, k \neq j} \left( 1 + \exp(b_k + \sum_i w_{ik} v_i) \right) \exp(b_j + \sum_i w_{ij} v_i). \quad (12.44)$$

由公式 (12.42) 和 (12.44), 可以计算隐藏单元  $h_j$  的条件概率为:

$$p(h_j = 1 | \mathbf{v}) = \frac{p(h_j = 1, \mathbf{v})}{p(\mathbf{v})} \quad (12.45)$$

$$= \frac{\exp(b_j + \sum_i w_{ij} v_i)}{1 + \exp(b_j + \sum_i w_{ij} v_i)} \quad (12.46)$$

$$= \sigma \left( b_j + \sum_i w_{ij} v_i \right). \quad (12.47)$$

(2)同理,条件概率 $p(v_i = 1|\mathbf{h})$ 为

$$p(v_i = 1|\mathbf{h}) = \sigma \left( a_i + \sum_j w_{ij} h_j \right). \quad (12.48)$$

□

公式(12.47)和(12.48)也可以写为向量形式。

$$p(\mathbf{h} = \mathbf{1}|\mathbf{v}) = \sigma(W^T \mathbf{v} + \mathbf{b}) \quad (12.49)$$

$$p(\mathbf{v} = \mathbf{1}|\mathbf{h}) = \sigma(W\mathbf{h} + \mathbf{a}). \quad (12.50)$$

在受限玻尔兹曼机的全条件概率中,可观测变量之间互相条件独立,隐变量之间也互相条件独立。因此,受限玻尔兹曼机可以并行地对所有的可观测变量(或所有的隐变量)同时进行采样,从而可以更快地达到热平衡状态。

### 12.2.1.2 吉布斯采样

受限玻尔兹曼机的采样过程如下：

- (给定)或随机初始化一个可观测的向量  $\mathbf{v}_0$ , 计算隐变量的概率, 并从中采样一个隐向量  $\mathbf{h}_0$ ;
- 基于  $\mathbf{h}_0$ , 计算可观测变量的概率, 并从中采样一个可观测的向量  $\mathbf{v}_1$ ;
- 重复  $t$  次后, 获得  $(\mathbf{v}_t, \mathbf{h}_t)$ ;
- 当  $t \rightarrow \infty$  时,  $(\mathbf{v}_t, \mathbf{h}_t)$  的采样服从  $p(\mathbf{v}, \mathbf{h})$  分布。

图12.4也给出了上述过程的示例。

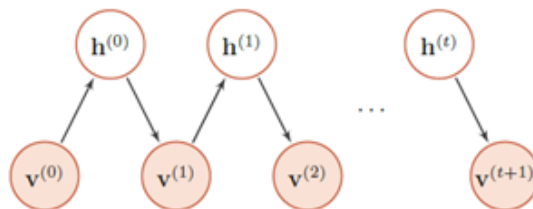


图 12.4 受限玻尔兹曼机的采样过程

## 2. 参数学习

和玻尔兹曼机一样,受限玻尔兹曼机通过最大化似然函数来找到最优的参数  $W, \mathbf{a}, \mathbf{b}$ 。给定一组训练样本  $\mathcal{D} = \{\hat{\mathbf{v}}^{(1)}, \hat{\mathbf{v}}^{(2)}, \dots, \hat{\mathbf{v}}^{(N)}\}$ , 其对数似然函数为

$$\mathcal{L}(\mathcal{D}; W, \mathbf{a}, \mathbf{b}) = \frac{1}{N} \sum_{n=1}^N \log p(\hat{\mathbf{v}}^{(n)}; W, \mathbf{a}, \mathbf{b}). \quad (12.51)$$

和玻尔兹曼机类似,在受限玻尔兹曼机中,对数似然函数  $\mathcal{L}(\mathcal{D}; W, \mathbf{b})$  对参数  $w_{ij}, a_i, b_j$  的偏导数为

$$\frac{\partial \mathcal{L}(\mathcal{D}; W, \mathbf{a}, \mathbf{b})}{\partial w_{ij}} = \mathbb{E}_{\hat{p}(\mathbf{v})} \mathbb{E}_{p(\mathbf{h}|\mathbf{v})} [v_i h_j] - \mathbb{E}_{p(\mathbf{v}, \mathbf{h})} [v_i h_j], \quad (12.52)$$

$$\frac{\partial \mathcal{L}(\mathcal{D}; W, \mathbf{a}, \mathbf{b})}{\partial a_i} = \mathbb{E}_{\hat{p}(\mathbf{v})} \mathbb{E}_{p(\mathbf{h}|\mathbf{v})} [v_i] - \mathbb{E}_{p(\mathbf{v}, \mathbf{h})} [v_i], \quad (12.53)$$

$$\frac{\partial \mathcal{L}(\mathcal{D}; W, \mathbf{a}, \mathbf{b})}{\partial b_j} = \mathbb{E}_{\hat{p}(\mathbf{v})} \mathbb{E}_{p(\mathbf{h}|\mathbf{v})} [h_j] - \mathbb{E}_{p(\mathbf{v}, \mathbf{h})} [h_j], \quad (12.54)$$

其中  $\hat{p}(\mathbf{v})$  为训练数据集上  $\mathbf{v}$  的实际分布。

公式(12.52)、(12.53)和(12.54)中都需要计算配分函数  $Z$  以及两个期望  $\mathbb{E}_{p(\mathbf{h}|\mathbf{v})}$  和  $\mathbb{E}_{p(\mathbf{h}, \mathbf{v})}$ , 因此很难计算,一般需要通过MCMC方法来近似计算。

首先,将可观测向量  $\mathbf{v}$  设为训练样本中的值并固定,然后根据条件概率对隐向量  $\mathbf{h}$  进行采样,这时受限玻尔兹曼机的值记为  $\langle \cdot \rangle_{\text{data}}$ 。然后再不固定可观测向量  $\mathbf{v}$ , 通过吉布斯采样来轮流更新  $\mathbf{v}$  和  $\mathbf{h}$ 。当达到热平衡状态时,采集  $\mathbf{v}$  和  $\mathbf{h}$  的值,记为  $\langle \cdot \rangle_{\text{model}}$ 。

采用梯度上升方法时,参数  $W, \mathbf{a}, \mathbf{b}$  可以用下面公式近似地更新

$$w_{ij} \leftarrow w_{ij} + \alpha \left( \langle v_i h_j \rangle_{\text{data}} - \langle v_i h_j \rangle_{\text{model}} \right), \quad (12.55)$$

$$a_i \leftarrow a_i + \alpha \left( \langle v_i \rangle_{\text{data}} - \langle v_i \rangle_{\text{model}} \right), \quad (12.56)$$

$$b_j \leftarrow b_j + \alpha \left( \langle h_j \rangle_{\text{data}} - \langle h_j \rangle_{\text{model}} \right), \quad (12.57)$$

其中  $\alpha > 0$  为学习率。

根据受限玻尔兹曼机的条件独立性,可以对可观测变量和隐变量进行分组轮流采样,如图12.4中所示。这样受限玻尔兹曼机的采样效率会比一般的玻尔兹曼机有很大提高,但一般还是需要通过很多步采样才可以采集到符合真实分布的样本。



### 3. 对比散度学习算法

由于受限玻尔兹曼机的特殊结构,因此可以使用一种比吉布斯采样更有效 的学习算法,即对比散度(Contrastive Divergence)对比散度算法仅需k步吉布斯采样。为了提高效率,对比散度算法用一个训练样本作为可观测向量的初始值。然后,交替对可观测向量和隐藏向量进行吉布斯采样,不需要等到收敛,只需要k步就足够了。这就是CD-k 算法。通常,k = 1就可以学得很好。对比散度的流程如算法12.1所示。

---

**算法 12.1: 单步对比散度算法**

---

```
    输入: 训练集:  $\hat{\mathbf{v}}^{(n)}, n = 1, \dots, N$ ;  
    学习率:  $\alpha$   
    1 初始化:  $W \leftarrow 0, \mathbf{a} \leftarrow 0, \mathbf{b} \leftarrow 0$  ;  
    2 for  $t = 1 \dots T$  do  
    3     for  $n = 1 \dots N$  do  
    4         选取一个样本  $\hat{\mathbf{v}}^{(n)}$ , 用公式 (12.47) 计算  $p(\mathbf{h} = \mathbf{1} | \hat{\mathbf{v}}^{(n)})$ , 并根据  
    5         这个分布采集一个隐向量  $\mathbf{h}$ ;  
    6         计算正向梯度  $\hat{\mathbf{v}}^{(n)} \mathbf{h}^T$ ;  
    7         根据  $\mathbf{h}$ , 用公式 (12.48) 计算  $p(\mathbf{v} = \mathbf{1} | \mathbf{h})$ , 并根据这个分布采集  
    8         重构的可见变量  $\mathbf{v}'$ ;  
    9         根据  $\mathbf{v}'$ , 重新计算  $p(\mathbf{h} = \mathbf{1} | \mathbf{v}')$  并采样一个  $\mathbf{h}'$ ;  
    10        计算反向梯度  $\mathbf{v}' \mathbf{h}'^T$ ;  
    11        更新参数:  
    12         $W \leftarrow W + \alpha(\hat{\mathbf{v}}^{(n)} \mathbf{h}^T - \mathbf{v}' \mathbf{h}'^T)$  ;  
    13         $\mathbf{a} \leftarrow \mathbf{a} + \alpha(\hat{\mathbf{v}}^{(n)} - \mathbf{v}')$  ;  
    14         $\mathbf{b} \leftarrow \mathbf{b} + \alpha(\mathbf{h} - \mathbf{h}')$  ;  
    15    end  
    输出:  $W, \mathbf{a}, \mathbf{b}$ 
```

---

### 4. MATLAB程序解读

```
% maxepoch -- 最大迭代次数maximum number of epochs  
% numhid   -- 隐含层神经元数number of hidden units  
% batchdata -- 分批后的训练数据集the data that is divided into batches (numcases numdims numbatches)
```

```
% restart    -- 如果从第1层开始学习，就置restart为1set to 1 if learning starts from beginning
```

```
%作用：训练RBM，利用1步CD算法 直接调用权值迭代公式不使用反向传播
```

```
%可见的、二元的、随机的像素通过对称加权连接连接到隐藏的、二元的、随机的特征检测器
```

```
epsilonw      = 0.1;    % Learning rate for weights 权重学习率 alpha
```

```
epsilonvb     = 0.1;    % Learning rate for biases of visible units 可视层偏置学习率 alpha
```

```
epsilonhb     = 0.1;    % Learning rate for biases of hidden units 隐藏层偏置学习率 alpha
```

```
weightcost    = 0.0002; %权衰减，用于防止出现过拟合
```

```
initialmomentum = 0.5; %动量项学习率，用于克服收敛速度和算法的不稳定性之间的矛盾
```

```
finalmomentum  = 0.9;
```

```
[numcases numdims numbatches]=size(batchdata);%[numcases numdims numbatches]=[每批中的样本数 每个样本的维数 训练样本批数]
```

```
if restart ==1 %是否为重新开始即从头训练
```

```
    restart=0;
```

```
    epoch=1;
```

```
% Initializing symmetric weights and biases. 初始化权重和两层偏置
```

```
vishid        = 0.1*randn(numdims, numhid);% 连接权值Wij 784*1000
```

```
hidbiases     = zeros(1,numhid);% 隐含层偏置项bi
```

```
visbiases     = zeros(1,numdims);% 可视化层偏置项aj
```

```
poshidprobs   = zeros(numcases,numhid); %样本数*隐藏层NN数，隐藏层输出p(h1|v0)对应每个样本有一个输出 100*1000
```

```
neghidprobs   = zeros(numcases,numhid); %重构数据驱动的隐藏层
```

```
posprods      = zeros(numdims,numhid); % 表示p(h1|v0)*v0，用于更新Wij即<vihj>data 784*1000
```

```
negprods      = zeros(numdims,numhid); %<vihj>recon
```

```
vishidinc     = zeros(numdims,numhid); % 权值更新的增量 ΔW
```

```
hidbiasinc    = zeros(1,numhid); % 隐含层偏置项更新的增量 1*1000 Δb
```

```
visbiasinc    = zeros(1,numdims); % 可视化层偏置项更新的增量 1*784 Δa
```

```
batchposhidprobs=zeros(numcases,numhid,numbatches); % 整个数据隐含层的输出 每批样本数*隐含层维度*批数
```

```
end
```

```
for epoch = epoch:maxepoch %每个迭代周期
```

```
    fprintf(1,'epoch %d\r',epoch);
```

```
    errsum=0;
```

```
    for batch = 1:numbatches %每一批样本
```

```
        fprintf(1,'epoch %d batch %d\r',epoch,batch);
```

```
%%CD-1
```

```
%%%%%%%%%% START POSITIVE PHASE 正向梯度%%%%%%%%%
```

```
    data = batchdata(:, :, batch); %data里是100个图片数据
```

```
    poshidprobs = 1./(1 + exp(-data*vishid - repmat(hidbiases,numcases,1))); %隐藏层输出p(h=1|v0)=sigmod函数=1/(1+exp(-wx-b)) 根据这个分布采集一个隐变量h
```

```
    batchposhidprobs(:, :, batch)=poshidprobs; %将输出存入一个三位数组
```

```
    posprods = data' * poshidprobs; %p(h|v0)*v0 更新权重时会使用到 计算正向梯度vh'
```

```
    poshidact = sum(poshidprobs); %隐藏层中神经元概率和，在更新隐藏层偏置时会使用到
```

```
    posvisact = sum(data); %可视层中神经元概率和，在更新可视层偏置时会使用到
```

```
%%%%%%%%%% END OF POSITIVE PHASE %%%%%%%%%%
```

```
%%gibbs采样
```

```
    poshidstates = poshidprobs > rand(numcases,numhid); %将隐藏层输出01化表示，大于随机概率的置1，小于随机概率的置0，gibbs抽样, 设定状态
```

```
%%%%%%%%%% START NEGATIVE PHASE 反向梯度%%%%%%%%%
```

```
    negdata = 1./(1 + exp(-poshidstates*vishid' - repmat(visbiases,numcases,1))); %01化表示之后算vt=p(vt|ht-1)重构的数据 p(v=1|h)=sigmod(W*h+a) 采集重构的可见变量v'
```

```
    neghidprobs = 1./(1 + exp(-negdata*vishid - repmat(hidbiases,numcases,1))); %ht=p(h|vt)使用重构数据隐藏层的输出 p(h=1|v)=sigmod(W'*v+b) 采样一个h'
```

```

negprods = negdata'*neghidprobs; %计算反向梯度v'h';
neghidact = sum(neghidprobs);
negvisact = sum(negdata);
%%%%%%%%% END OF NEGATIVE PHASE %%%%%%%%%%%%%%
%%更新参数
err= sum(sum( (data-negdata).^2 )); %整批数据的误差 ||v-v'||^2
errsum = err + errsum;

if epoch>5 %迭代次数不同调整冲量
    momentum=finalmomentum;
else
    momentum=initialmomentum;
end

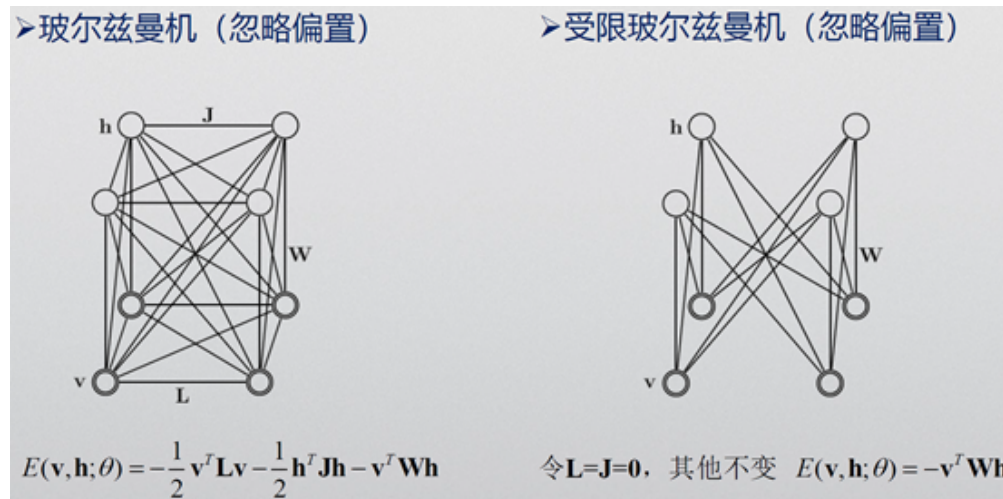
%%%%%%%%% UPDATE WEIGHTS AND BIASES 更新权重和偏置%%%%%%%%%
vishidinc = momentum*vishidinc + ...
    epsilonw*( (posprods-negprods)/numcases - weightcost*vishid); %权重的增量 ΔW=alpha*(vh'-v'h')
visbiasinc = momentum*visbiasinc + (epsilonvb/numcases)*(posvisact-negvisact); %可视层增量 Δa=alpha*(v-v')
hidbiasinc = momentum*hidbiasinc + (epsilonhb/numcases)*(poshidact-neghidact); %隐含层增量 Δb=alpha*(h-h')

vishid = vishid + vishidinc; %a=a+Δa
visbiases = visbiases + visbiasinc; %W=W+ΔW
hidbiases = hidbiases + hidbiasinc; %b=b+Δb
%%%%%%%%% END OF UPDATES %%%%%%%%%%%%%%

end
fprintf(1, 'epoch %4i error %6.1f \n', epoch, errsum);
end

```

## 5. 玻尔兹曼机与受限玻尔兹曼机



## 玻尔兹曼机 (Boltzmann machine)

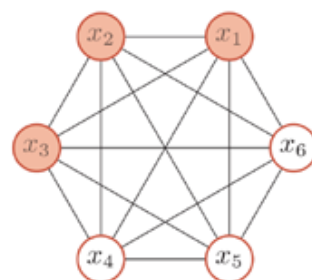
▶ **玻尔兹曼机**是一个特殊的概率无向图模型。

- ▶ 每个随机变量是二值的
- ▶ 所有变量之间是全连接的
- ▶ 整个能量函数定义为

$$\begin{aligned} E(\mathbf{x}) &\triangleq E(\mathbf{X} = \mathbf{x}) \\ &= - \left( \sum_{i < j} w_{ij} x_i x_j + \sum_i b_i x_i \right) \end{aligned}$$

▶  $P(\mathbf{X})$  为玻尔兹曼分布

$$P(\mathbf{X} = \mathbf{x}) = \frac{1}{Z} \exp \left( \frac{-E(\mathbf{x})}{T} \right)$$



一个有六个变量的玻尔兹曼机

两个基本问题:

1. 推断  $p(\mathbf{h}|\mathbf{v})$
2. 参数学习  $W$

## 玻尔兹曼机的推断

▶ 近似采样--Gibbs采样

$$P(X_i = 1 | \mathbf{x}_{\setminus i}) = \sigma \left( \frac{\Delta E_i(\mathbf{x}_{\setminus i})}{T} \right)$$

▶ 模拟退火

- ▶ 让系统刚开始在一个比较高的温度下运行，然后逐渐降低，直到系统在一个比较低的温度下达到热平衡。
- ▶ 当系统温度非常高  $T \rightarrow \infty$  时， $p_i \rightarrow 0.5$ ，即每个变量状态的改变十分容易，每一种网络状态都是一样的，而从很快可以达到热平衡。
- ▶ 当系统温度非常低  $T \rightarrow 0$  时，如果  $\Delta E_i(\mathbf{x}_{\setminus i}) > 0$  则  $p_i \rightarrow 1$ ，如果  $\Delta E_i(\mathbf{x}_{\setminus i}) < 0$  则  $p_i \rightarrow 0$ 。
  - ▶ 随机性方法变成确定性方法

## 玻尔兹曼机的参数学习

---

### ▶ 最大似然估计

$$\mathcal{LL}(\mathcal{W}) = \frac{1}{N} \sum_{i=1}^N \log p(\hat{\mathbf{v}}^{(n)})$$


### ▶ 采用梯度上升法

$$w_{ij} \leftarrow w_{ij} + \alpha \left( \frac{1}{N} \sum_{n=1}^N \mathbb{E}_{p(\mathbf{h}|\hat{\mathbf{v}}^{(n)})}[x_i x_j] - \mathbb{E}_{p(\mathbf{x})}[x_i x_j] \right)$$

## 玻尔兹曼机的参数学习

---

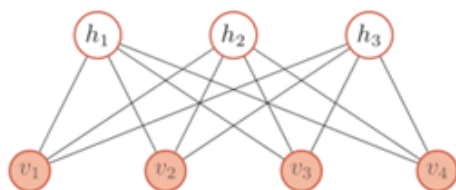
### ▶ 基于Gibbs采样来进行近似求解

$$w_{ij} \leftarrow w_{ij} + \alpha \left( \frac{1}{N} \sum_{n=1}^N \underbrace{\mathbb{E}_{p(\mathbf{h}|\hat{\mathbf{v}}^{(n)})}[x_i x_j]}_{\text{data}} - \underbrace{\mathbb{E}_{p(\mathbf{x})}[x_i x_j]}_{\text{model}} \right)$$


$$w_{ij} \leftarrow w_{ij} + \alpha (\underbrace{\langle x_i x_j \rangle}_{\text{data}} - \underbrace{\langle x_i x_j \rangle}_{\text{model}})$$

# 受限玻尔兹曼机 (Restricted Boltzmann Machines, RBM)

- ▶ 受限玻尔兹曼机是一个二分图结构的无向图模型。
  - ▶ 在受限玻尔兹曼机中，变量可以为两组，分别为隐藏层和可见层（或输入层）。
  - ▶ 节点变量的取值为0或1。
  - ▶ 和两层的全连接神经网络的结构相同。



$$p(v_i = 1|\mathbf{h}) = \sigma \left( a_i + \sum_j w_{i,j} h_j \right),$$
$$p(h_j = 1|\mathbf{v}) = \sigma \left( b_j + \sum_i w_{i,j} v_i \right),$$

## 6. 参考文献

- [1] 邱锡鹏, [神经网络与深度学习](#)[M]. 2019.
- [2] Salakhutdinov R, Hinton G. [Deep boltzmann machines](#)[C]//Artificial intelligence and statistics. 2009: 448-455.
- [3] Hinton, [Training a deep autoencoder or a classifier on MNIST digits](#). 2006.
- [4] Hinton G E. [Training products of experts by minimizing contrastive divergence](#)[J]. Neural computation, 2002, 14(8): 1771-1800.
- [5] Hinton G E. [A practical guide to training restricted Boltzmann machines](#)[M]//Neural networks: Tricks of the trade. Springer, Berlin, Heidelberg, 2012: 599-619.
- [6] [深度学习 --- 受限玻尔兹曼机详解\(RBM\)](#)
- [7] [受限玻尔兹曼机 \(RBM\) 学习笔记 \(六\) 对比散度算法](#)
- [8] [Deep Learning \(深度学习\) 学习笔记整理系列之 \(四\)](#)

[9] [Restricted Boltzmann Machines \(RBM\)](#)